

# **Ein Vergleich verschiedener Varianten von endlichen Quanten-Automaten**

**Stephan Sigg**

08.06.2004

# 1 - Einleitung und Überblick

1. Einleitung und Überblick
2. Quantentheoretische Grundlagen
3. Verschiedene Automatentypen
4. Bekannte Ergebnisse und Behauptungen
5. Eigene Ergebnisse
6. Ausblick und offene Fragen
7. Schluß

## 2 - Quantentheoretische Grundlagen

- Qubit als Analogon zum klassischen Bit

– Basiszustände  $|0\rangle$  und  $|1\rangle$  als Parallele zu 0 und 1

$$- |0\rangle = \begin{pmatrix} 1 \\ 0 \end{pmatrix}, \quad |1\rangle = \begin{pmatrix} 0 \\ 1 \end{pmatrix}$$

– Aber auch ‘Zwischenzustände’ möglich:

$$|\psi\rangle = \alpha|0\rangle + \beta|1\rangle = \begin{pmatrix} \alpha \\ \beta \end{pmatrix}$$

–  $\| |\psi\rangle \|_2 = 1$  (hier:  $|\alpha|^2 + |\beta|^2 = 1$  und  $\alpha, \beta \in \mathbb{C}$ )

- $\langle\psi| = (|\psi\rangle)^\dagger$

- Punkt in komplexem Vektorraum mit innerem Produkt

- Verallgemeinerung auf mehrere Qubits:

Für  $\alpha_{ij} \in \mathbb{C}$  :

$$|\psi\rangle = \alpha_{00}|00\rangle + \alpha_{01}|01\rangle + \alpha_{10}|10\rangle + \alpha_{11}|11\rangle = \begin{pmatrix} \alpha_{00} \\ \alpha_{01} \\ \alpha_{10} \\ \alpha_{11} \end{pmatrix}$$

mit  $\| |\psi\rangle \|_2 = 1$

## Bausteine in Quantenschaltkreisen

- Bedingungen an die Bausteine
  - Quadratische Matrix
  - Unitarität :  $U^\dagger U = I$
  - Alle Einträge aus  $\mathbb{C}$
  - Noch weitere Einschränkungen, aber hier nicht wichtig

## Bausteine in Quantenschaltkreisen

- Bedingungen an die Bausteine
  - Quadratische Matrix
  - Unitarität :  $U^\dagger U = I$
  - Alle Einträge aus  $\mathbb{C}$
  - Noch weitere Einschränkungen, aber hier nicht wichtig
- Hadamard Gate als Beispiel für einen ein - Qubit Baustein:

$$H = \frac{1}{\sqrt{2}} \begin{bmatrix} 1 & 1 \\ 1 & -1 \end{bmatrix}$$

## Quantenbausteine

- Beispiel

$$\begin{aligned} H(\alpha|0\rangle + \beta|1\rangle) &= \frac{1}{\sqrt{2}} \begin{bmatrix} 1 & 1 \\ 1 & -1 \end{bmatrix} \begin{pmatrix} \alpha \\ \beta \end{pmatrix} = \frac{1}{\sqrt{2}} \begin{pmatrix} \alpha + \beta \\ \alpha - \beta \end{pmatrix} \\ &= \frac{(\alpha + \beta)}{\sqrt{2}} |0\rangle + \frac{(\alpha - \beta)}{\sqrt{2}} |1\rangle \end{aligned}$$

## Bemerkungen und Schwierigkeiten

- Beobachtung:

- Die Anzahl der Basiszustände verdoppelt sich mit jedem weiteren Qubit

- Messungen:

- Sei  $|\psi\rangle = \sum_{i=0}^n \alpha_i |q_i\rangle$

- Erste Messung liefert  $|q_i\rangle$  mit Wahrscheinlichkeit  $|\alpha_i|^2$

- Neuer Zustand ist  $|q_i\rangle$

- Jede weitere Messung liefert  $|q_i\rangle$  mit Wahrscheinlichkeit 1

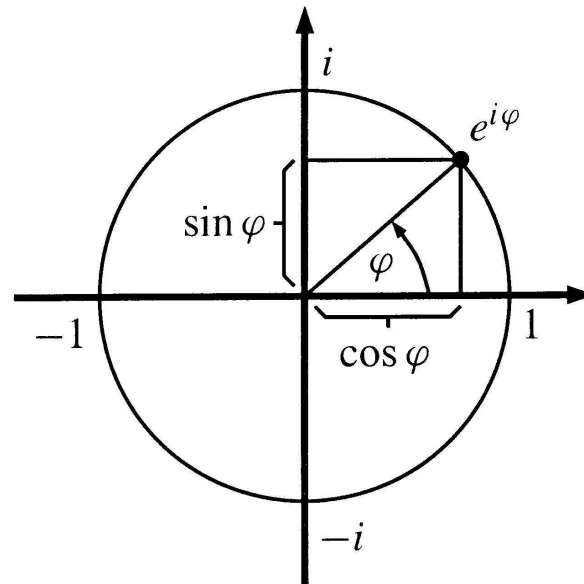
- Transformationen:

- Nur unitäre Operationen erlaubt



## Weitere Darstellungen von Qbits

- $|\psi\rangle = \alpha|0\rangle + \beta|1\rangle$   
 $\alpha, \beta \in \mathbb{C}, |\alpha|^2 + |\beta|^2 = 1$
- Komplexwertige Exponentialfunktion



- Für  $r = |\alpha|, s = |\beta|; (r^2 + s^2 = 1)$  ist

$$|\psi\rangle = \begin{bmatrix} re^{i\gamma} \\ se^{i\delta} \end{bmatrix} = e^{i\gamma} \begin{bmatrix} r \\ se^{i(\delta-\gamma)} \end{bmatrix}$$

- Mit geeigneter Wahl von  $\gamma$  und  $\delta$  gilt  $r, s \geq 0$

- Für  $r = |\alpha|, s = |\beta|$ ; ( $r^2 + s^2 = 1$ ) ist

$$|\psi\rangle = \begin{bmatrix} re^{i\gamma} \\ se^{i\delta} \end{bmatrix} = e^{i\gamma} \begin{bmatrix} r \\ se^{i(\delta-\gamma)} \end{bmatrix}$$

– Mit geeigneter Wahl von  $\gamma$  und  $\delta$  gilt  $r, s \geq 0$

- Wähle  $0 \leq \Theta \leq \pi$  sodass  $\cos(\frac{\Theta}{2}) = r$

Wegen  $r^2 + s^2 = 1$

$$\Rightarrow s = \sqrt{1 - \cos^2(\frac{\Theta}{2})} = \sin(\frac{\Theta}{2})$$

- Für  $r = |\alpha|, s = |\beta|; (r^2 + s^2 = 1)$  ist

$$|\psi\rangle = \begin{bmatrix} re^{i\gamma} \\ se^{i\delta} \end{bmatrix} = e^{i\gamma} \begin{bmatrix} r \\ se^{i(\delta-\gamma)} \end{bmatrix}$$

– Mit geeigneter Wahl von  $\gamma$  und  $\delta$  gilt  $r, s \geq 0$

- Wähle  $0 \leq \Theta \leq \pi$  sodass  $\cos(\frac{\Theta}{2}) = r$

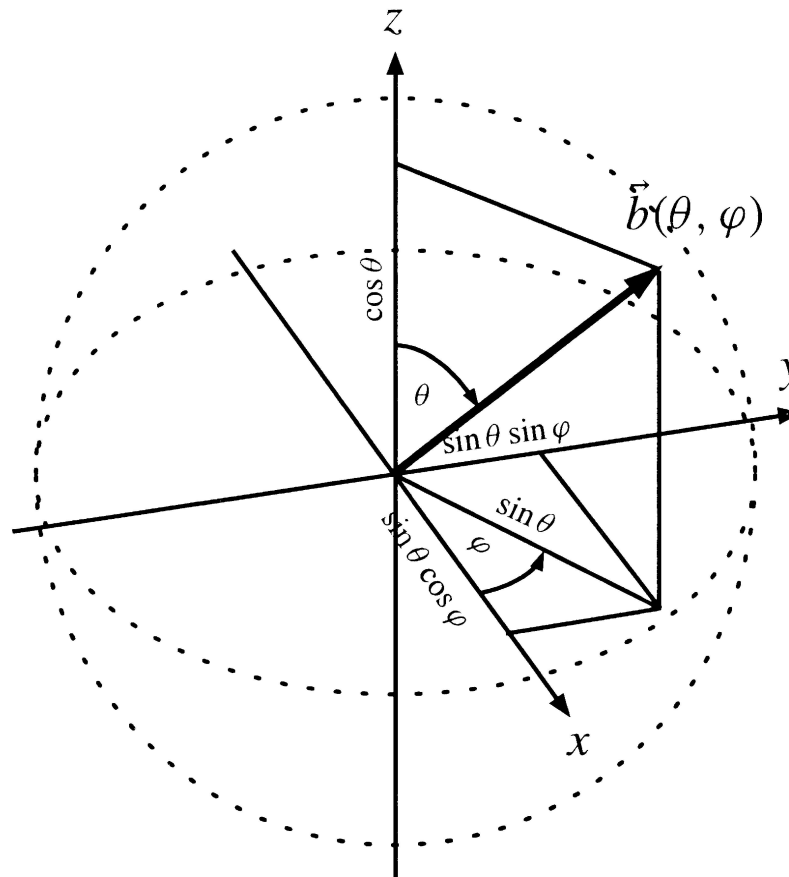
Wegen  $r^2 + s^2 = 1$

$$\Rightarrow s = \sqrt{1 - \cos^2(\frac{\Theta}{2})} = \sin(\frac{\Theta}{2})$$

- Mit  $\varphi = \delta - \gamma$

$$\Rightarrow |\psi\rangle = e^{i\gamma} \begin{bmatrix} \cos(\frac{\Theta}{2}) \\ e^{i\varphi} \sin(\frac{\Theta}{2}) \end{bmatrix}$$

- $\varphi$  und  $\Theta$  bestimmen eindeutig einen Punkt in einer Einheitssphäre



- Es gibt Transformationen von Qubits, die einer Drehung auf dieser Sphäre entsprechen:

$$U_y(\rho) = \begin{bmatrix} \cos\left(\frac{\rho}{2}\right) & -\sin\left(\frac{\rho}{2}\right) \\ \sin\left(\frac{\rho}{2}\right) & \cos\left(\frac{\rho}{2}\right) \end{bmatrix}$$

Drehung an der  $y$ -Achsen um den Winkel  $\rho$ .

## 3 - Verschiedene Automatentypen

### Ein 1-DFA

- $D = (Q, \Sigma, q_0, \delta, Q_{acc})$ 
  - $\delta : Q \times \Sigma \rightarrow Q$
- Zustandsüberführung in Matrizenschreibweise
  - Zustände werden durch Einheitsvektoren beschrieben
  - Quadratische Matrizen
  - Alle Matrixeinträge aus  $\{0, 1\}$
  - Jede Spalte darf nur maximal eine '1' enthalten
- Erkennen genau die regulären Sprachen

## Beispiel

$$\delta(q_0, \sigma) = q_1 \text{ und } \delta(q_1, \sigma) = q_1$$

$$q_0 = \begin{pmatrix} 1 \\ 0 \end{pmatrix} ; \quad q_1 = \begin{pmatrix} 0 \\ 1 \end{pmatrix} ; \quad V_\sigma = \begin{bmatrix} 0 & 0 \\ 1 & 1 \end{bmatrix}$$

$$V_\sigma |q_0\rangle = \begin{bmatrix} 0 & 0 \\ 1 & 1 \end{bmatrix} \begin{pmatrix} 1 \\ 0 \end{pmatrix} = \begin{pmatrix} 0 \\ 1 \end{pmatrix} = q_1$$

$$V_\sigma |q_1\rangle = \begin{bmatrix} 0 & 0 \\ 1 & 1 \end{bmatrix} \begin{pmatrix} 0 \\ 1 \end{pmatrix} = \begin{pmatrix} 0 \\ 1 \end{pmatrix} = q_1$$



## 1-QFAs

(Kondacs, Watrous - 1997)

- $M = \{Q, \Sigma, q_0, \delta, Q_{acc}, Q_{rej}\}$ 
  - $Q_{non} = Q \setminus (Q_{acc} \cup Q_{rej})$
  - Endmarkierungen:  $\vdash$  ;  $\dashv$
- Zustände  $q_i$  beschreiben Einheitsvektoren aus  $\mathbb{C}^n$ 
  - Alle  $|q_i\rangle$  spannen komplexen Vektorraum auf
  - Überlagerungen möglich:  $|\psi\rangle = \sum_{i=1}^n \alpha_i |q_i\rangle$   
mit  $\| |\psi\rangle \|_2 = 1$
  - $|\psi\rangle$  ist Punkt im komplexen Vektorraum

## Zustandsüberführung

- $\delta : Q \times \Gamma \times Q \rightarrow \mathbb{C}$ 
  - Auch als Überführungsmatrix  $V_\sigma$

- Unitarität:  $\forall q_1, q_2 \in Q :$

$$\forall \sigma \in \Gamma : \sum_q \delta^*(q_1, \sigma, q) \delta(q_2, \sigma, q) = \begin{cases} 1 & \text{falls } q_1 = q_2 \\ 0 & \text{sonst} \end{cases}$$

- Als Überführungsmatrix  $V_\sigma$ 
  - $V_\sigma |\psi\rangle = \sum_{i=1}^n \sum_{q_j \in Q} \langle q_i | \psi \rangle \delta(q_i, \sigma, q_j) |q_j\rangle$
  - Unitarität:  $V_\sigma^\dagger V_\sigma = I$

## Beispiel

$$\delta(q_0, \sigma, q_0) = \frac{1}{\sqrt{2}} \quad ; \quad \delta(q_0, \sigma, q_1) = \frac{1}{\sqrt{2}}$$

$$\delta(q_1, \sigma, q_0) = \frac{1}{-\sqrt{2}} \quad ; \quad \delta(q_1, \sigma, q_1) = \frac{1}{\sqrt{2}}$$

$$V_\sigma = \begin{bmatrix} \frac{1}{\sqrt{2}} & \frac{1}{-\sqrt{2}} \\ \frac{1}{\sqrt{2}} & \frac{1}{\sqrt{2}} \end{bmatrix}$$

$$V_\sigma^\dagger V_\sigma = \begin{bmatrix} \frac{1}{\sqrt{2}} & \frac{1}{\sqrt{2}} \\ \frac{1}{-\sqrt{2}} & \frac{1}{\sqrt{2}} \end{bmatrix} \begin{bmatrix} \frac{1}{\sqrt{2}} & \frac{1}{-\sqrt{2}} \\ \frac{1}{\sqrt{2}} & \frac{1}{\sqrt{2}} \end{bmatrix} = \begin{bmatrix} 1 & 0 \\ 0 & 1 \end{bmatrix}$$

## Messungen

Für  $|\psi\rangle = \sum_{i=0}^{n-1} \alpha_i |q_i\rangle$

- Zustand aus  $Q_{acc}$  wird mit Wahrscheinlichkeit  $\sum_{q_i \in Q_{acc}} |\alpha_i|^2$  gemessen
  - Der Automat stoppt und akzeptiert
- Analog für  $Q_{rej}$
- Zustand aus  $Q_{non}$  wird mit Wahrscheinlichkeit  $\sum_{q_i \in Q_{non}} |\alpha_i|^2$  gemessen
  - Der Automat fällt in die Überlagerung  $|\psi_{neu}\rangle = \sum_{q_i \in Q_{non}} \alpha_i |\psi_i\rangle$
  - $|\psi_{neu}\rangle$  muss noch normiert werden:

$$\frac{1}{\|\psi_{neu}\|_2} |\psi_{neu}\rangle$$

## Ablauf eines Rechenschrittes

- Ausgangsüberlagerung:  $|\psi\rangle$
- Messen der Überlagerung  $|\psi\rangle$
- Normieren:

$$|\psi_{norm}\rangle = \frac{1}{\|\psi_{non}\|_2} |\psi_{non}\rangle$$

- Lesen der Bandinschrift  $\sigma$  an Kopfposition
- Anwenden der zugehörigen Überführungsmatrix  $V_\sigma$
- Resultierende Überlagerung:  $|\psi'\rangle = V_\sigma |\psi_{norm}\rangle$
- Kopfbewegung

## 1-QFA mit verallgemeinerten Messungen

(Hirvensalo - 2001)

- Notation: 1-QFA<sup>vm</sup>
- Aufteilen von  $Q_{non}$  in disjunkte Untervektorräume  $Q_i$ 
  - $\forall q_1, q_2 \in Q_i :$

$$\forall \sigma \in \Gamma : \sum_q \delta^*(q_1, \sigma, q) \delta(q_2, \sigma, q) = \begin{cases} 1 & \text{falls } q_1 = q_2 \\ 0 & \text{sonst} \end{cases}$$

- Messen von  $|\psi\rangle$ : Mit Wahrscheinlichkeit  $\sum_{q_j \in Q_i} |\alpha_j|^2$  Zustand aus  $Q_i$
- Berechnung wird im Untervektorraum  $Q_i$  fortgesetzt:  $|\psi'\rangle = \sum_{q_j \in Q_i} \langle q_j | \psi \rangle$
- Normieren:

$$|\psi'_{norm}\rangle = \frac{1}{\| |\psi'\rangle \|_2} |\psi'\rangle$$

- **Beispiel:**

$$V_\sigma = \begin{bmatrix} \overbrace{0}^{Q_1} & \overbrace{0}^{Q_2} & \overbrace{0}^{Q_3} & \overbrace{0}^{Q_3} \\ 1 & 1 & 0 & 0 \\ 0 & 0 & \frac{1}{\sqrt{2}} & -\frac{1}{\sqrt{2}} \\ 0 & 0 & \frac{1}{\sqrt{2}} & \frac{1}{\sqrt{2}} \end{bmatrix}$$

- Simulation eines 1-DFA möglich

## 2-PFA mit Ausgabe

- $P = (Q, \Sigma_{ein}, \Sigma_{aus}, q_0, \delta, Q_{stop})$ 
  - Endmarkierungen:  $\vdash$  ;  $\vdash$
  - $\delta : Q \times \Gamma \times Q \times \Sigma_{aus} \cup \{\epsilon\} \times \{-1, 0, 1\} \rightarrow [0, 1]$
  - $\forall q \in Q, \sigma \in \Sigma_{ein} :$

$$\sum_{q' \in Q, \sigma' \in \Sigma_{aus} \cup \{\epsilon\}, d \in \{-1, 0, 1\}} \delta(q, \sigma, q', \sigma', d) = 1$$

- Berechnung stoppt, wenn Zustand  $q_{stop} \in Q_{stop}$  erreicht wird
- Kein akzeptierendes oder verwerfendes Halten



## Weitere Automatentypen

(Ambainis, Freivalds - 1998)

- Automaten mit zyklischem Band
  - 1-QXFA und 1-QXFA<sup>vm</sup>
  - Die Eingabe wird wiederholt von links nach rechts gelesen
  - Ansonsten wie 1-QFA bzw. 1-QFA<sup>vm</sup>
- Kombination von verschiedenen Automaten
  - 1-QFA<sup>2-PFA</sup>
  - Kombination eines 2-PFA mit Ausgabe mit einem 1-QFA
  - Zunächst Bearbeitung durch den 2-PFA mit Ausgabe
  - Der 1-QFA rechnet auf der Ausgabe des 2-PFA

## 4 - Bekannte Ergebnisse und Behauptungen

- 1-QFAs erkennen nur eine echte Teilmenge der regulären Sprachen  
(Kondacs, Watrous - 1997)
- Behauptungen (Ambainis und Freivalds - 1998):
  - Ein 1-QXFA kann mehr Sprachen erkennen, als ein 1-QFA
  - Es gibt einen 1-QXFA, der bei Eingabe  $w \in L_{eq} = \{a^n b^n \mid n \in \mathbb{N}\}$  nie hält und sonst nach  $O(|w|)$  Schritten immer hält.
  - Für  $\epsilon > 0$  gibt es einen 1-QFA<sup>2-PFA</sup>, der die Sprache  $L_{eq} = \{a^n b^n \mid n \in \mathbb{N}\}$  in polynomieller Zeit mit Fehler  $\epsilon$  erkennt.

## 5 - Eigene Ergebnisse

- Es gibt einen 1-QXFA<sup>vm</sup>, der die Sprache  $L_{eq}$  erkennt, wenn ein Nicht-Halten des Automaten als akzeptieren interpretiert wird. Für  $w \notin L_{eq}$  ist die erwartete Rechenzeit des Automaten  $O(n^5)$ .
- Es gibt einen 1-QXFA, der die Sprache  $L_{eq}$  erkennt, wenn ein Nicht-Halten des Automaten als akzeptieren interpretiert wird. Für  $w \notin L_{eq}$  ist die erwartete Rechenzeit des Automaten  $O(n^5)$ .
- Es gibt einen 1-QFA<sup>2-PFA</sup>, der die Sprache  $L_{eq}$  mit einseitigem Fehler erkennt. Die erwartete Rechenzeit des Automaten ist  $O(n^5)$ .

## Ein 1-QXFA<sup>vm</sup> für $L_{eq}$

**Phase 1** Teste, ob  $w \in L_{ab} = \{a^*b^*\}$

**Phase 2** Teste, ob  $w \in L_{a=b} = \{w \mid |w|_a = |w|_b\}$

**Beobachtung:** Phase 1 durch Simulation eines 1-DFA.

## Ein 1-QXFA<sup>vm</sup> für $L_{eq}$

### Phase 2

Führe in jedem Schritt eine Drehung der Überlagerung zweier Basiszustände um einen Winkel  $\rho$  durch. Die Drehungen erfolgen für  $a$  und  $b$  in entgegengesetzter Richtung.  $\rho = r\pi$  ist ein irrationales vielfaches von  $\pi$  mit

$$r = \sum_{i=1}^{\infty} 10^{-2^i} = 0,0101000100\dots$$

**Behauptung 1:** Genau für  $w \in L_{eq}$  wird nach einmaligem Lesen des Wortes wieder die Ausgangsüberlagerung erreicht.

**Behauptung 2:** Für  $w \notin L_{eq}$  ist der Winkel, um den der Vektor der erreichten Überlagerung von dem Vektor der Ausgangsüberlagerung abweicht, größer als  $\pi * 10^{-(\lceil 3+2 \log_{10} n \rceil + 1)}$ .

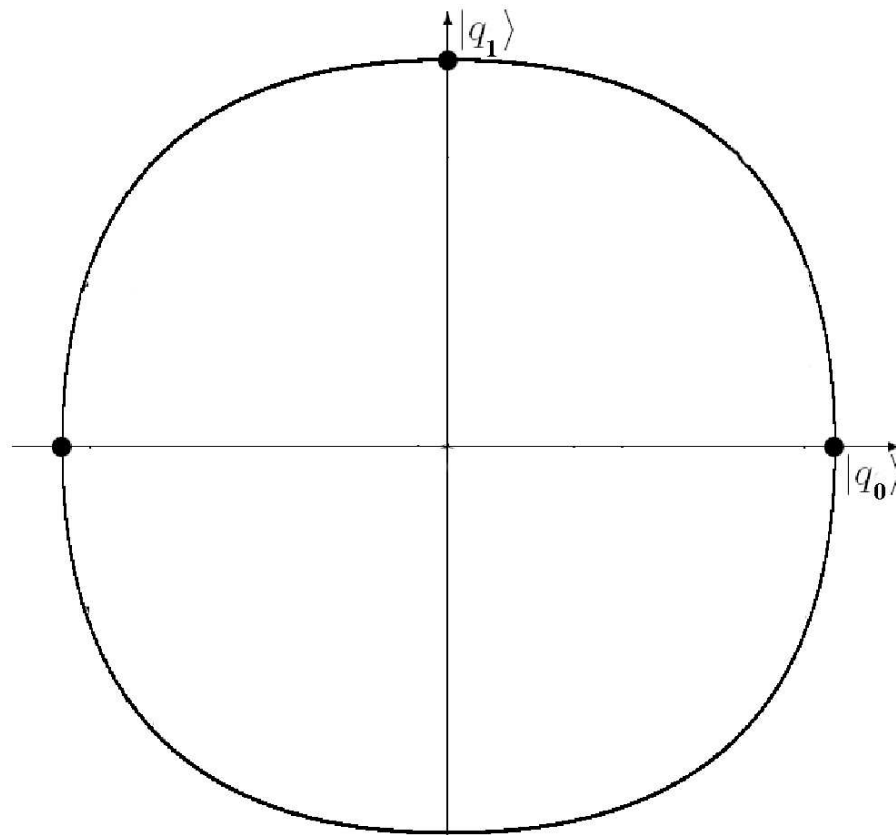
## Ein 1-QXFA<sup>vm</sup> für $L_{eq}$

### Zeige:

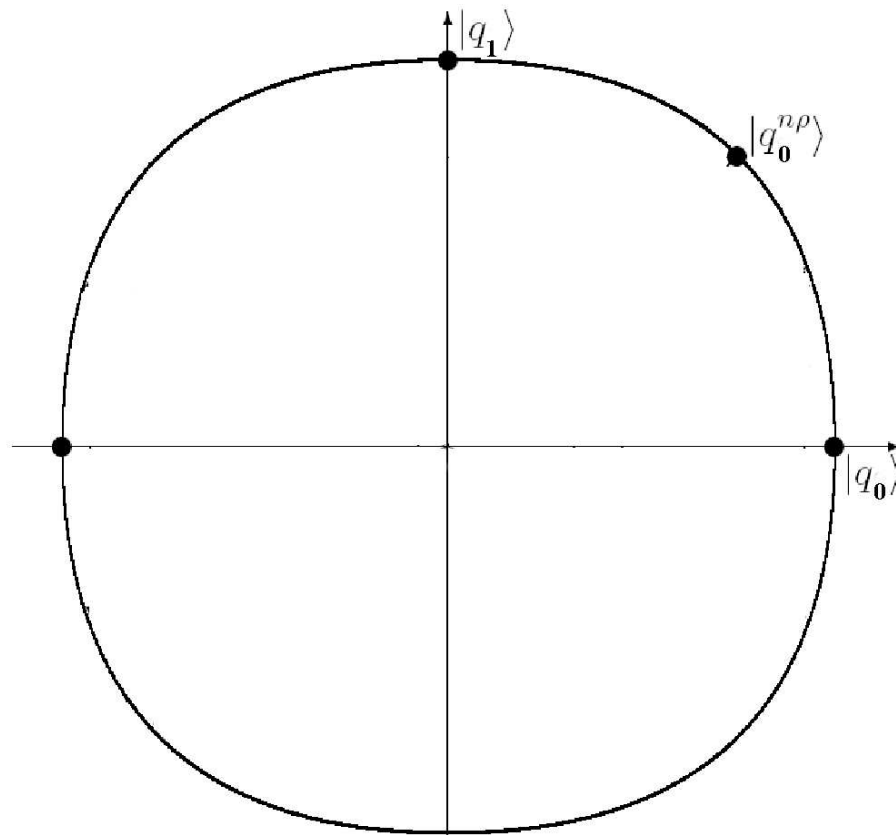
Für  $|w| = n$  wird nach maximal  $n$  Drehungen um den Winkel  $\rho$  nie ein Vektor erreicht, der um weniger als einen Winkel  $\kappa = \pi * 10^{-\lceil 3+2 \log_{10} n \rceil + 1}$  von dem ursprünglichen Vektor abweicht.

**Bemerkung 1:**  $k$  Drehungen entsprechen  $k + d$  Drehungen hin und  $d$  Drehungen zurück

**Bemerkung 2:** Deswegen ist die ungünstigste Situation eine  $n$ -fache Drehung

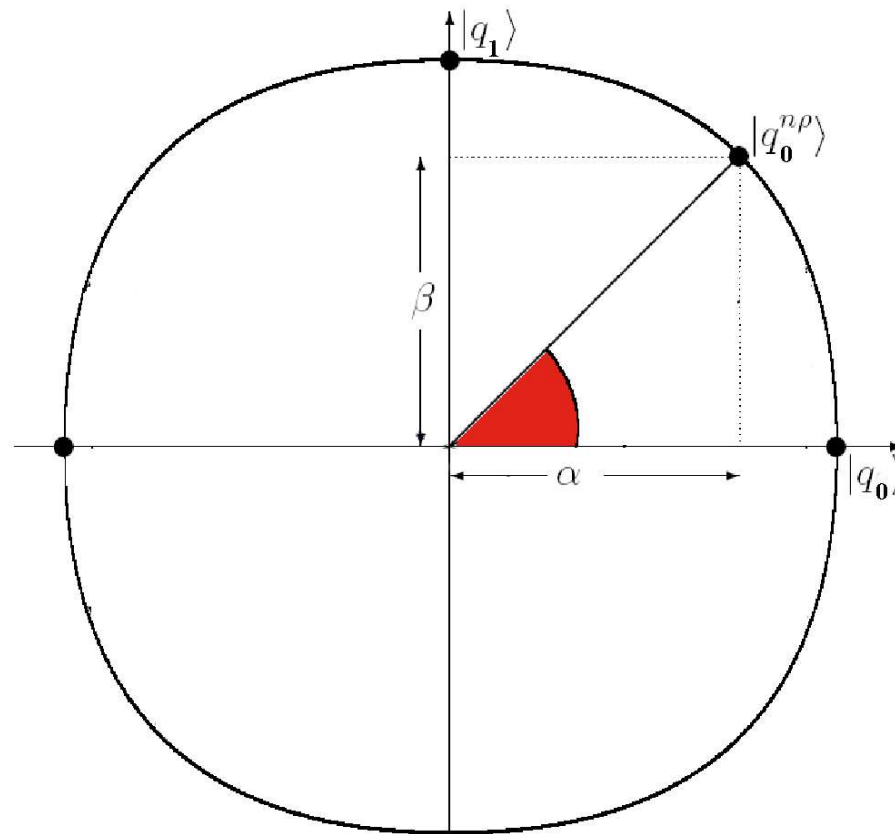


$$|q_0^{n\rho}\rangle$$



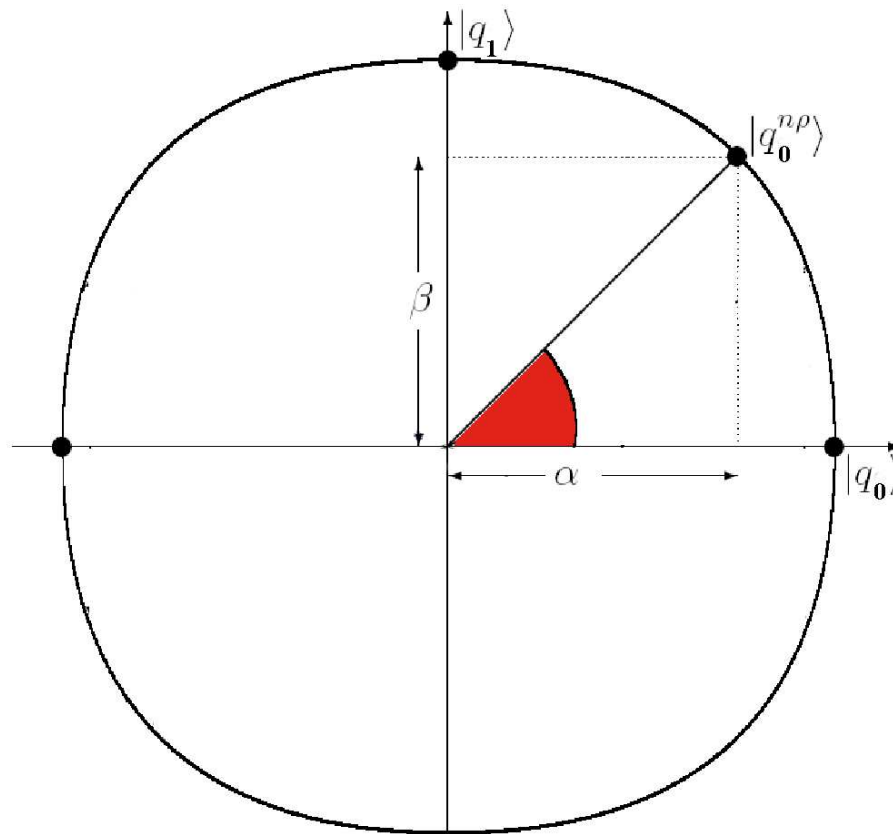


$$|q_0^{n\rho}\rangle = \alpha|q_0\rangle + \beta|q_1\rangle$$



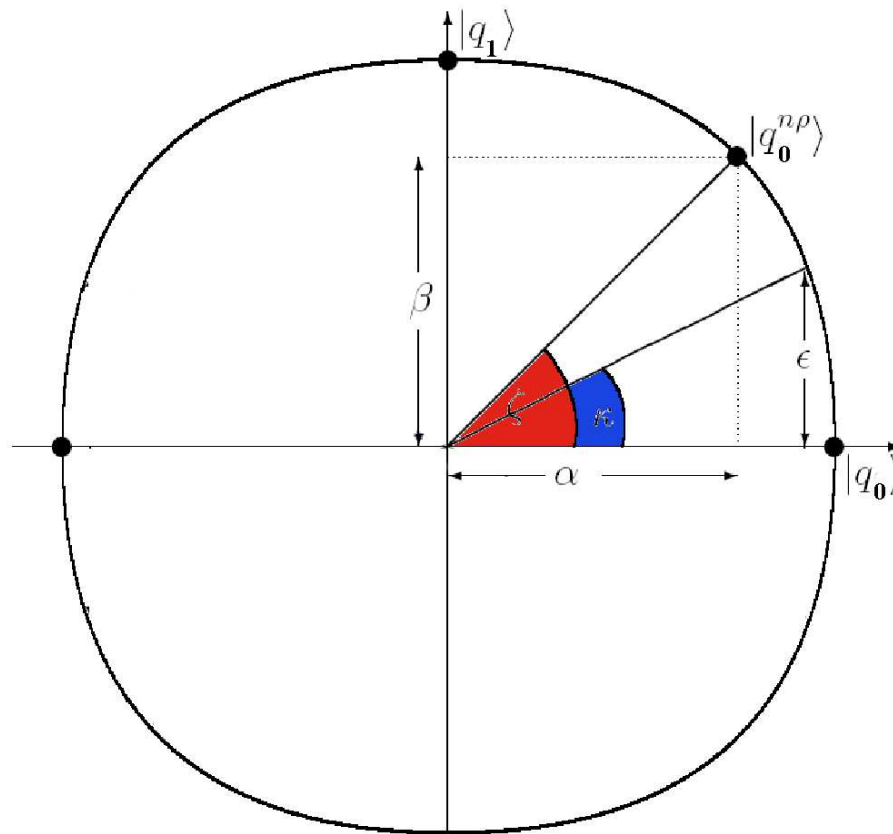
$$|q_0^{n\rho}\rangle = \alpha|q_0\rangle + \beta|q_1\rangle$$

$$\beta \geq \epsilon$$



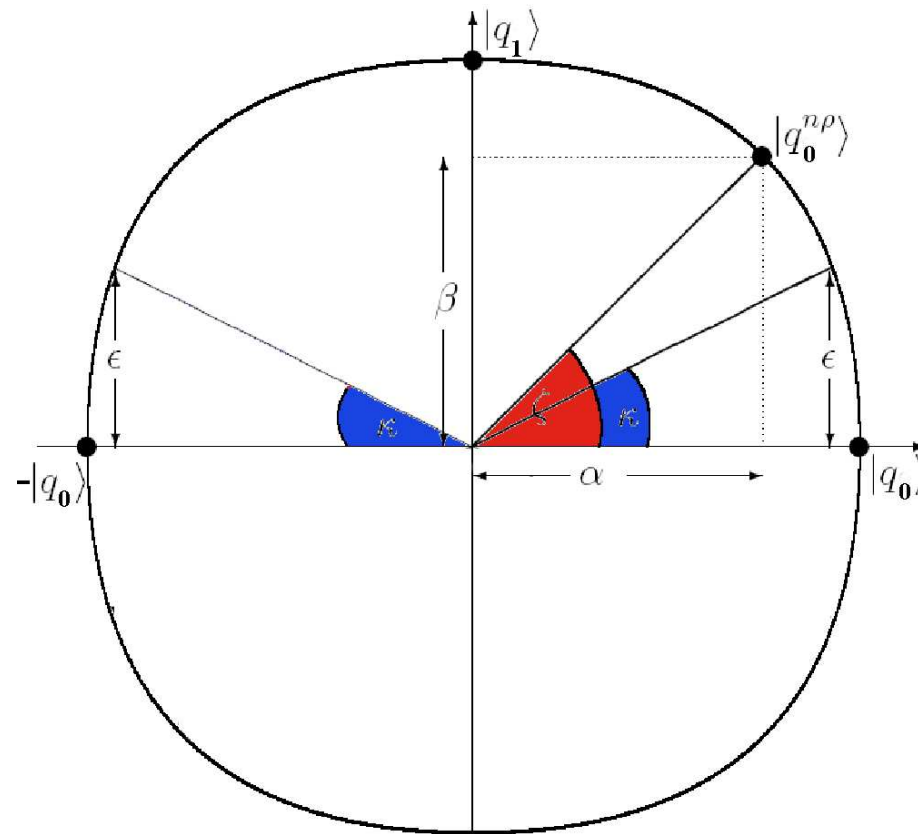
$$|q_0^{n\rho}\rangle = \alpha|q_0\rangle + \beta|q_1\rangle$$

$$\beta \geq \epsilon$$



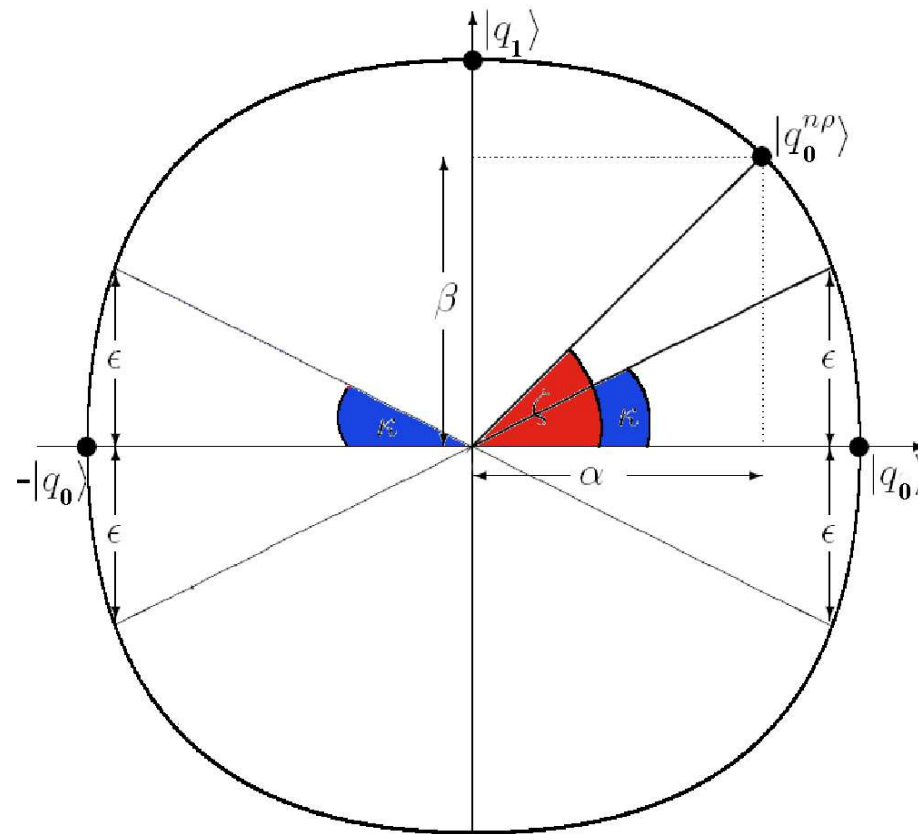
$$|q_0^{n\rho}\rangle = \alpha|q_0\rangle + \beta|q_1\rangle$$

$$\beta \geq \epsilon$$



$$|q_0^{n\rho}\rangle = \alpha|q_0\rangle + \beta|q_1\rangle$$

$$\beta \geq \epsilon$$



## Zusammenfassung

- Es gilt  $\beta \geq \epsilon$  und der Automat verwirft für  $w \notin L_{eq}$  mindestens mit Wahrscheinlichkeit

$$\epsilon^2 = \left( \sin\left(\frac{\pi}{10^{\lceil 3+2 \log_{10} n \rceil + 1}}\right) \right)^2$$

- Erwartete Anzahl an Lesezyklen ist  $\frac{1}{\epsilon^2}$
- Erwartete Rechenzeit ist  $\frac{n}{\epsilon^2} = O(n^5)$

## Ein 1-QXFA für $L_{eq}$

Satz Es gibt einen 1-QXFA, der die Sprache  $L_{eq}$  erkennt, wenn ein Nicht-Halten des Automaten als akzeptieren interpretiert wird. Für  $w \notin L_{eq}$  ist die erwartete Rechenzeit des Automaten  $O(n^5)$ .

(Lemma) Die Menge der von 1-QXFAs erkannten Sprachen ist gegen die Operation Durchschnitt abgeschlossen  $[\dots]$ . Die erwartete Laufzeit ergibt sich als Summe der erwarteten Rechenzeiten der einzelnen Automaten.

## Ein 1-QXFA für $L_{eq}$

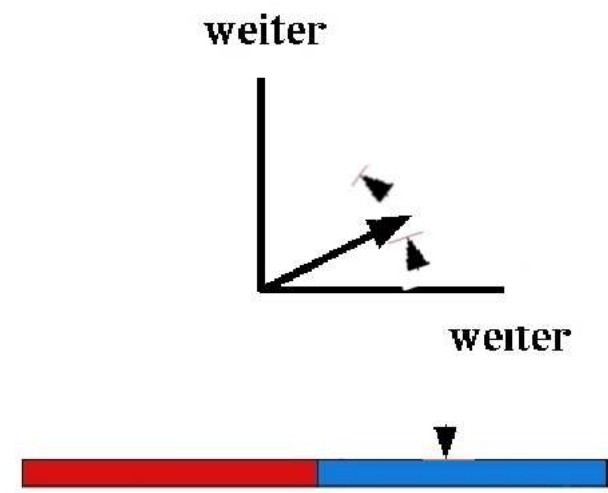
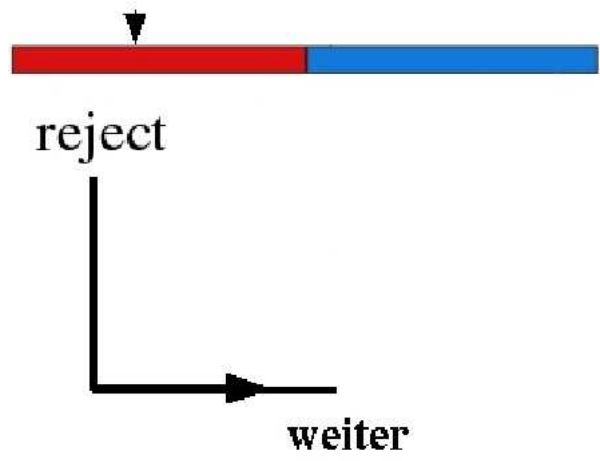
**Phase 1** Teste, ob  $w \in L_{ab} = \{a^*b^*\}$

**Phase 2** Teste, ob  $w \in L_{a=b} = \{w \mid |w|_a = |w|_b\}$

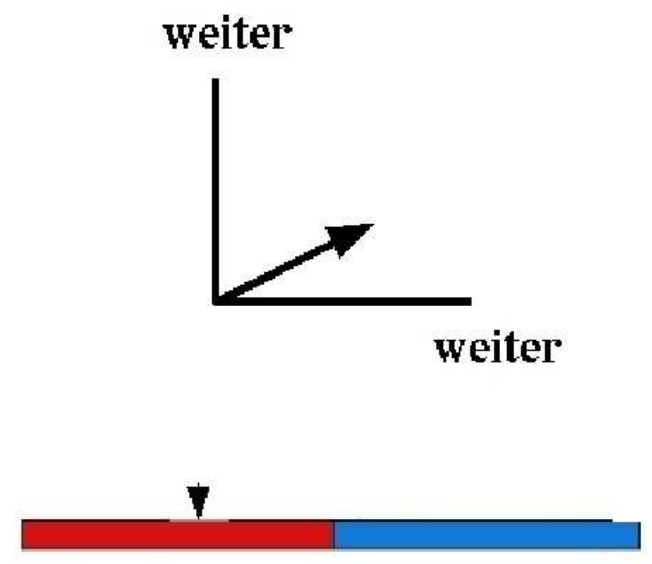
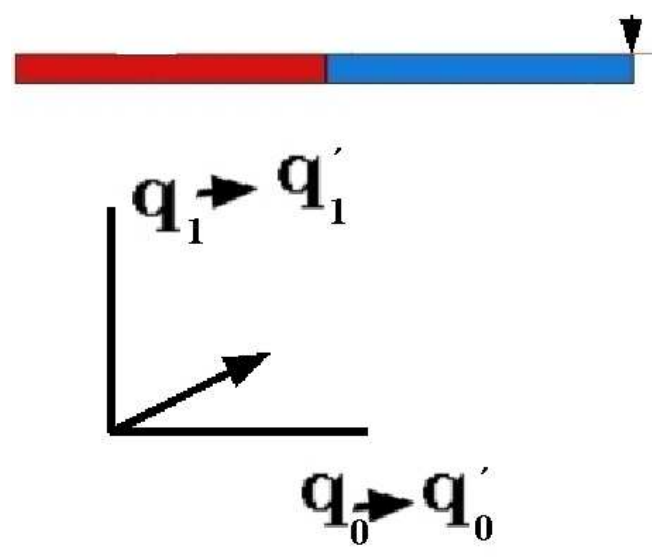
**Beobachtung:** Phase 2 kann aus dem 1-QXFA<sup>vm</sup> übernommen werden



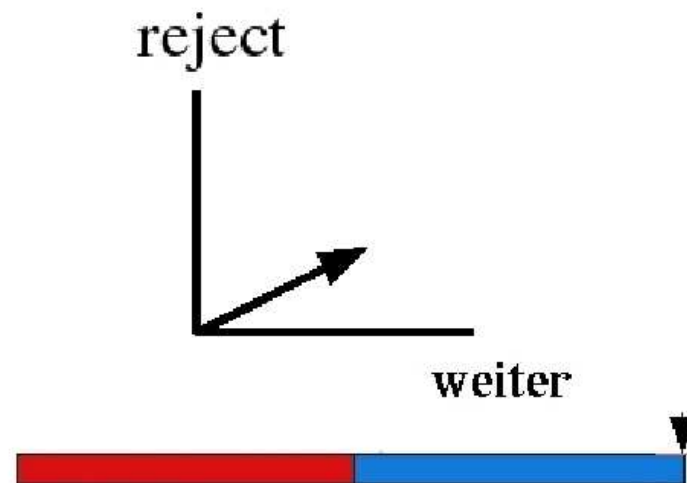
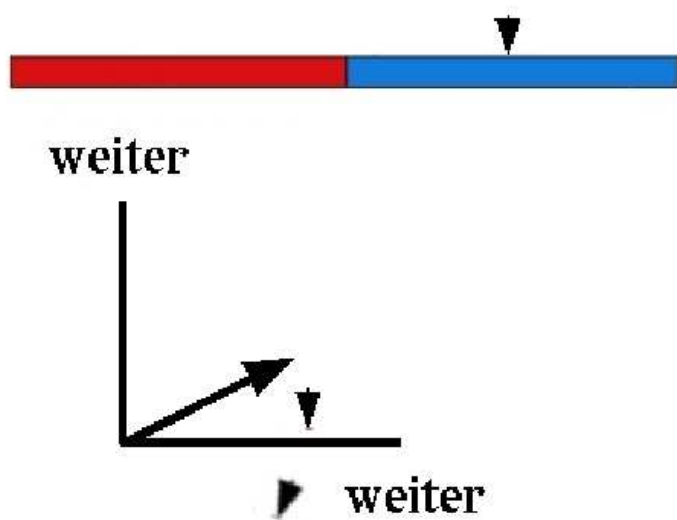
## Erstes Lesen der Bandinschrift



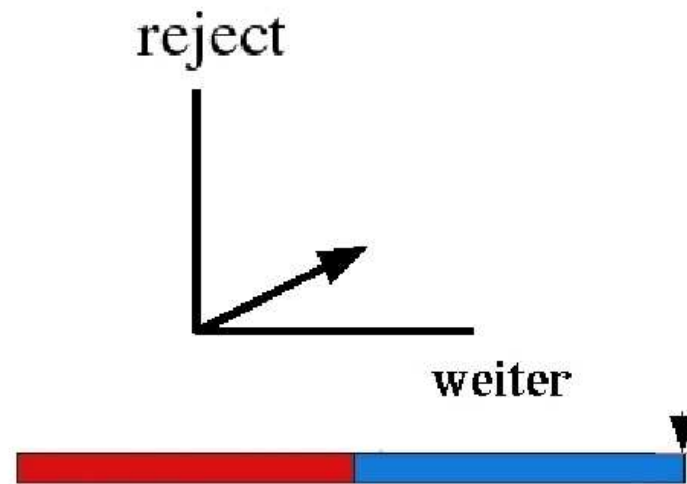
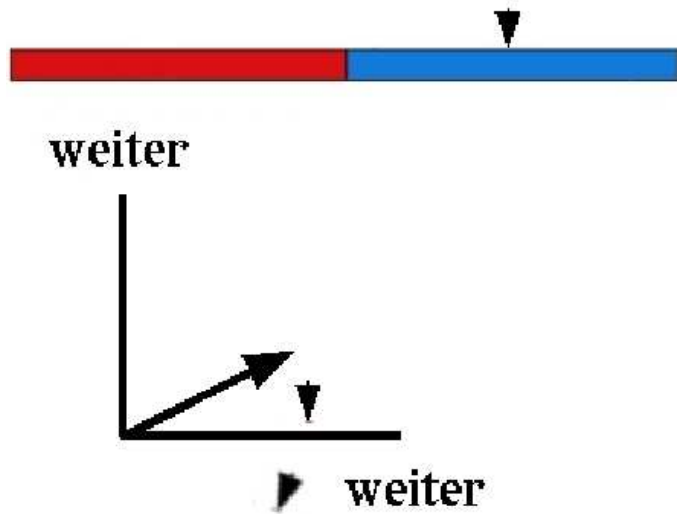
Lesen von  $\vdash$  und  $a$



Lesen von  $b$  und  $\vdash$

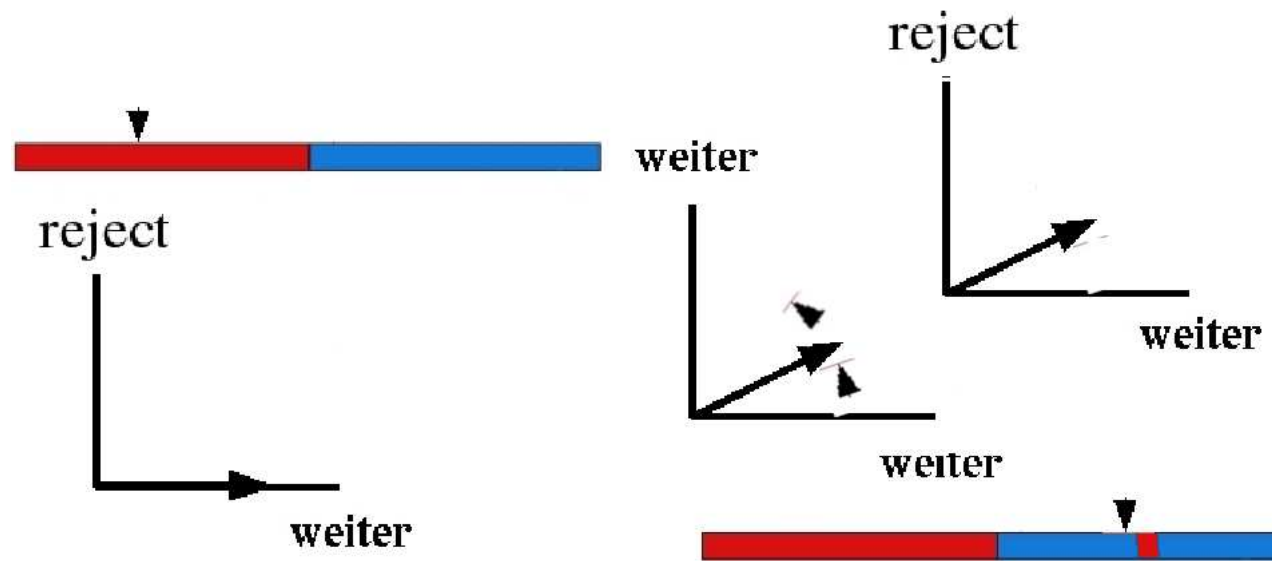


Lesen von  $b$  und  $\vdash$



Für  $w \in L_{ab}$  verwirft der Automat nie.

Lesen von  $a$  und  $b$



Für  $w \notin L_{ab}$  verwirft der Automat mit Wahrscheinlichkeit  $\frac{c}{n^4}$

## Insgesamt

- Jede Phase kann von einem 1-QXFA bearbeitet werden
- Für jede Phase genügt die Zeit  $O(n^5)$
- Konkatenation beider Automaten  $\rightarrow$  1-QXFA für  $L_{eq}$
- Erwartete Laufzeit des Automaten:  $O(n^5)$

## Ein 1-QFA<sup>2-PFA</sup> für $L_{eq}$

**Lemma** Es gibt einen 1-QFA<sup>2-PFA</sup>, der für eine Eingabe  $w$  mit  $|w| = n$  eine erwartete Laufzeit von  $O(n^5)$  hat. Dieser Automat wird

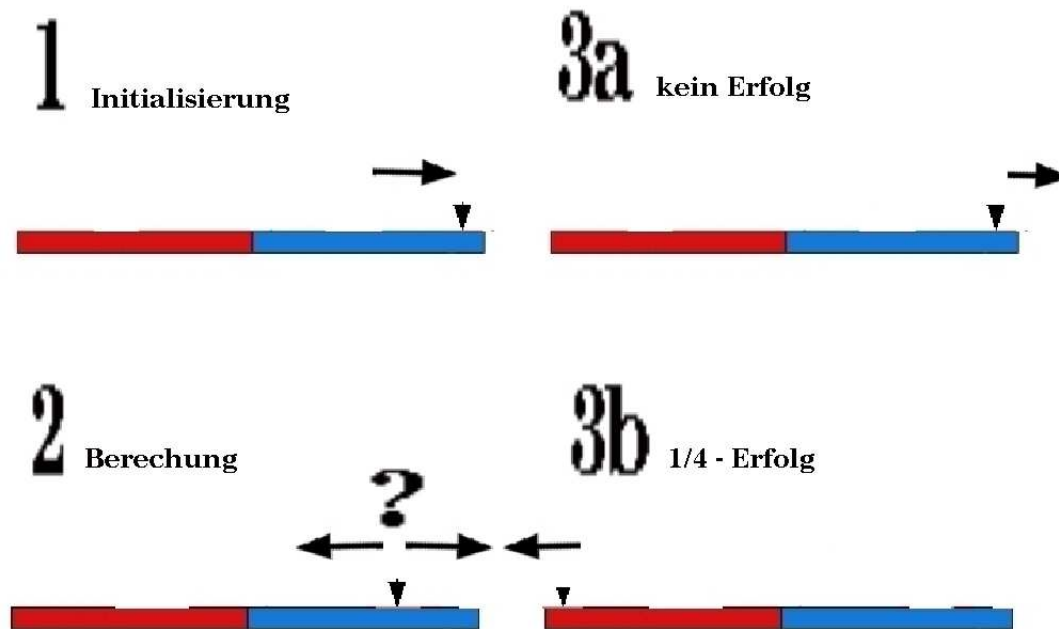
1.  $\forall w \in L_{eq} = \{a^n b^n \mid n \in \mathbb{N}\}$  akzeptieren
2.  $\forall w \notin L_{eq} = \{a^n b^n \mid n \in \mathbb{N}\}$  mit Wahrscheinlichkeit  $1 - O\left(\left(\frac{e}{4}\right)^{n^4}\right)$  akzeptieren.

### Beweisidee:

- 2-PFA mit Ausgabe erzeugt  $y = \dagger w \dagger \dots \dagger w \dagger$
- 1-QFA arbeitet auf  $y$  wie 1-QXFA auf  $w$

**Schwierigkeit:** Schreibe die Eingabe  $w$  polynomiell häufig nach  $y$

## Definition: Vierfaches Turnier





## Skizze des 2-PFA mit Ausgabe

$i := 1$

**WHILE** ( $i < 6 * 10^{10}$ )

Schreibe einmal  $\vdash w \vdash$

führe 4-faches Turnier aus

**IF** (Turnier erfolgreich)

$i + +$

**ENDIF**

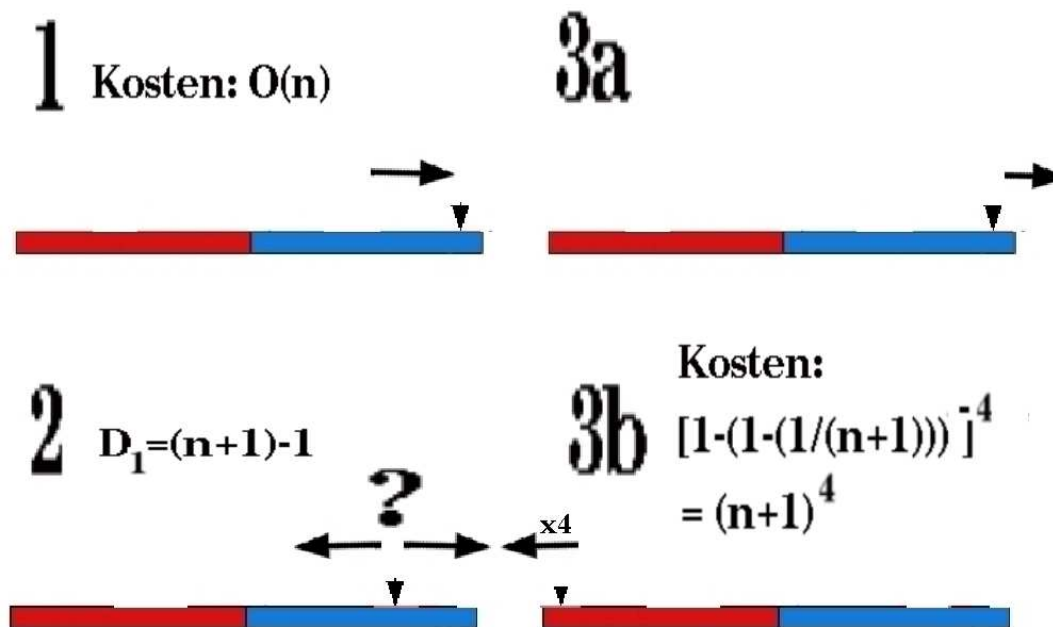
**ENDWHILE**

## Das Gamblers Ruin Problem

- Spieler  $A$  und  $B$
- Startkapital:  $b = m - a$
- Erfolgswahrscheinlichkeiten :  $P_A = 1 - P_B$
- Fragen:
  - Wird Spieler  $A$  ruiniert?  $\rightarrow q_a$
  - Wie lange dauert es, bis ein Spieler ruiniert ist?  $\rightarrow D_a$
- Für  $P_A = P_B = \frac{1}{2}$ ,  $a + b = m$ :
  - $q_a = 1 - \frac{a}{m}$
  - $D_a = a(m - a)$

Der 2-PFA simuliert das Gamblers Ruin Problem

$$q_a = 1 - \frac{a}{m}, D_a = a(m - a), P_A = P_B = \frac{1}{2}$$



## Zusammenfassung

- Erwartete Laufzeit des 2-PFA:  $6 * 10^{10}(n + 1)^4 cn$ 
  - Chernoff: nicht weniger als  $3 * 10^{10}(n + 1)^4 cn$  mit Wslk.  $O\left(\left(\frac{e}{4}\right)^{n^4}\right)$

## Zusammenfassung

- Erwartete Laufzeit des 2-PFA:  $6 * 10^{10}(n + 1)^4 cn$ 
  - Chernoff: nicht weniger als  $3 * 10^{10}(n + 1)^4 cn$  mit Wslk.  $O\left(\left(\frac{e}{4}\right)^{n^4}\right)$
- 1-QXFA benötigt im Erwartungswert weniger als  $\frac{3}{2} * 10^{10}(n + 1)^4 cn$  Lesezyklen
  - Chernoff: nicht mehr als  $3 * 10^{10}(n + 1)^4 cn$  mit Wslk.  $O\left(\frac{1}{e^{n^4}}\right)$

## Zusammenfassung

Laufzeit des 2-PFA:

– Chernoff: nicht weniger als  $3 * 10^{10} (n + 1)^4 cn$

- 1-QXFA benötigt

Lesezyklen

– Chernoff: nicht mehr als  $3 * 10^{10} (n + 1)^4 cn$

## Zusammenfassung

Laufzeit des 2-PFA:

– Chernoff: nicht weniger als  $3 * 10^{10} (n + 1)^4 cn$

- 1-QXFA benötigt

Lesezyklen

– Chernoff: nicht mehr als  $3 * 10^{10} (n + 1)^4 cn$

- Mit Wahrscheinlichkeit  $1 - O\left(\left(\frac{e}{4}\right)^{n^4}\right)$  macht der 1-QFA<sup>2-PFA</sup> keinen Fehler
- Erwartete Laufzeit des 1-QFA<sup>2-PFA</sup>:  $O(n^5)$

## 6 - Ausblick und offene Fragen

- Sind die von 1-QFA<sup>vm</sup>s erkannten Sprachen genau die regulären Sprachen ?
- Kann die Sprache  $a^i b^j; i \leq j$  mit einem Automaten mit zyklischem Band erkannt werden ?



**Danke für die Aufmerksamkeit !**